

СЗ45е1
П-815

16/II-70

СООБЩЕНИЯ
ОБЪЕДИНЕННОГО
ИНСТИТУТА
ЯДЕРНЫХ
ИССЛЕДОВАНИЙ

Дубна

P9 - 4851



В.П. Пронин, А.Н. Сафонов

МЕДИА ТЕРРИТОРИЯ ЯДЕРНЫХ ПРОБЛЕМ

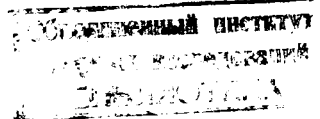
ИЗМЕРЕНИЕ ЭЛЕКТРИЧЕСКОГО ПОЛЯ
В ЦЕНТРАЛЬНОЙ ОБЛАСТИ СИНХРОЦИКЛОТРОНА
ОИЯИ МЕТОДОМ НАВЕДЕННОГО ТОКА

1969

P9 - 4851

В.П. Пронин, А.Н. Сафонов

ИЗМЕРЕНИЕ ЭЛЕКТРИЧЕСКОГО ПОЛЯ
В ЦЕНТРАЛЬНОЙ ОБЛАСТИ СИНХРОЦИКЛОТРОНА
ОИЯИ МЕТОДОМ НАВЕДЕНИНОГО ТОКА



6203/2 np

Пронин В.П., Сафонов А.Н.

P9-4851

Измерение электрического поля в центральной области синхроциклотрона ОИЯИ методом наведенного тока

На модели, выполненной в масштабе 1:5, определены компоненты ускоряющего поля дуанта и компоненты электростатического поля фокусирующих электродов. Измерения проводились методом наведенного тока на установке МНТ-В3.

Компоненты поля измерены в 3-х параллельных плоскостях при наличии стержня, имитирующего плазменный столб дуги ионного источника.

Сообщения Объединенного института ядерных исследований

Дубна, 1969

Pronin V.P., Safonov A.N.

P9-4851

Measurement of the Electrical Field in the Central Region
of the Dubna Synchrocyclotron by the Induced Current
Method

The components of the electrical field in the central region of the Dubna synchrocyclotron have been found by the induced current method which is based on the measurement of charge and current induced on the plates when either a point charge (a charge probe) or a probe vibrating at a constant frequency are placed into the point under investigation.

A model in 1 : 5 scale has been used for measuring the components of the accelerating and electrostatic fields of the dee and the focusing plates in the presence of a bar imitating the plasma column. The measurement data are tabulated and can be used in calculating particle motion by computer.

Communications of the Joint Institute for Nuclear Research.

Dubna, 1969

Для расчета движения ускоряемых частиц в центральной области синхроциклотрона на ЭВМ необходимо знать зависимость электрического поля от координат.

Определение оптимальной геометрии центральной области с точки зрения создания наилучших условий для начального ускорения и наибольшей вертикальной фокусировки электрическим полем дуанта и фокусирующих электродов /1/ также связано с нахождением тем или иным способом распределения электрического поля. В большинстве случаев электрическое поле в этой области трудно поддается аналитическому расчету, особенно при наличии плазменного столба ионного источника /2/.

Приближенные формулы /3/ не всегда обеспечивают достаточную точность при расчетах движения частиц на ЭВМ, а при выборе оптимальной геометрии центральной области они могут оказаться вообще неприемлемыми. Известно, что расчет движения частиц может быть осуществлен при задании электрического поля в виде таблиц. Анализ вертикальных сил и начального движения при табличном задании также легко осуществим. Таблицы электрического поля можно получить, используя методы математического моделирования. Наиболее часто для измерения электрических полей (в том числе в ускорителях) применяется метод электролитической ванны /2,4/, поскольку он позволяет определять потенциал с высокой точностью, а наличие плоскости симметрии на границе электролит - воздух обеспечивает удобство измерений в модели. Однако эффективность этого метода снижается, если возникает необходимость определения компонент напряженности, особенно при моделировании трехмерных полей.

В этом отношении более приемлем применяемый в данной работе метод электростатической индукции (наведенного тока) /5/, разработанный на кафедре радиофизики Саратовского университета. Этот метод использует пропорциональность между зарядом, наведенным на электродах модели заряженным зондом, и значением потенциала в точке его нахождения. Поступательно движущийся (или вибрирующий относительно точки измерения) зонд наводит во внешних цепях электродов модели ток, пропорциональный компоненте напряженности поля по линии движения.

Таким образом, наведенный заряд является аналогом потенциала, а наведенный ток – аналогом соответствующей компоненты напряженности. Отсутствие искусственной моделирующей среды (электроды модели располагаются в воздухе) позволяет осуществлять быстрое перемещение зонда при определении компонент напряженности лапласовского поля.

Неизбежные погрешности метода, не превышающие 5%, определяются размерами зонда, амплитудой его колебаний, искажающим влиянием зондодержателя и зависят от точности применяемых приборов.

На модели, выполненной в масштабе 1:5 (рис. 1), проведено измерение компонент ускоряющего поля (E_x , E_y , E_z) и электростатического, создаваемого напряжениями, приложенными к дуанту и фокусирующими электродам, при соотношении $U_{cm} = 0,1 U_\phi$ (E_x^ϕ , E_y^ϕ , E_z^ϕ) со стержнем, имитирующим плазменный столб ионного источника. Измерения проводились на установке МНТ-ВЗ /6/. Схема опыта показана на рис. 3. Вибратор, питаемый от генератора Г3-33 напряжением с частотой около 400 Гц (мощность 2+3 вт), приводил в колебательное движение керамический стержень ($\varnothing = 1$ мм) с заряженным янтарным шариком на конце $\varnothing 3$ мм. Колебания могли осуществляться во взаимно-перпендикулярных направлениях путем поворота вибратора на 90° . Вибратор укреплялся на координаторе, позволяющем перемещать его по осям x , y , z с отсчетом координат по миллиметровым линейкам с нониусами. Макет устанавливался на плиту координатора (см. рис. 1), так что ось x была направлена вверх для измерения компонент E_y и E_z и располагалась в горизонтальной плоскости при измерении компоненты E_x . Калибровка прибора для измерения напряженности в этом случае производилась по компоненте E_z . В качестве прибора для измерения наве-

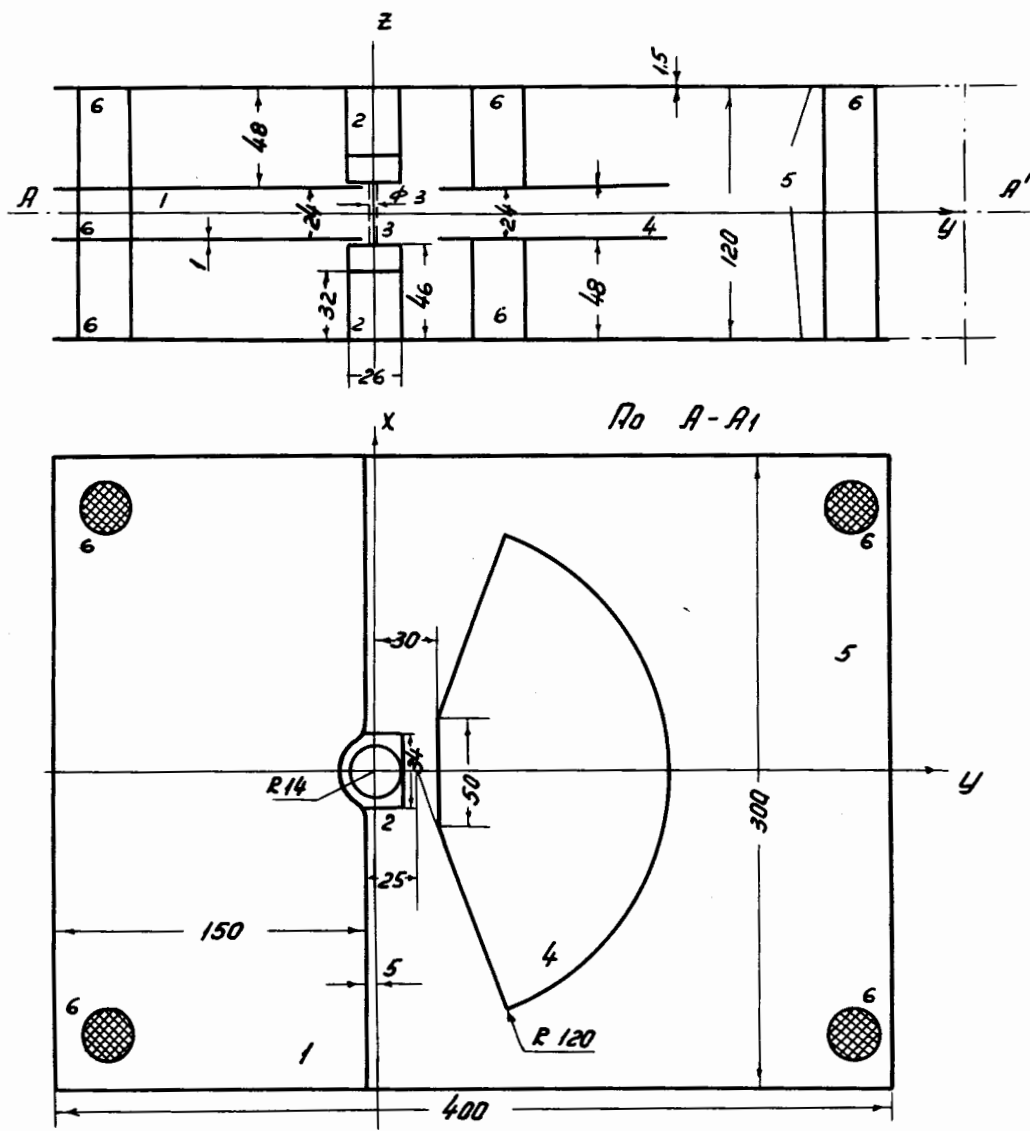


Рис.1. Чертеж макета центральной части ускорительной камеры синхро-циклотрона ОИЯИ в 1/5 натуре. 1 - дуант, 2 - ионный источник, 3 - плазменный столб дуги, 4 - фокусирующие электроды, 5 - крышки камеры, 6 - изоляторы.

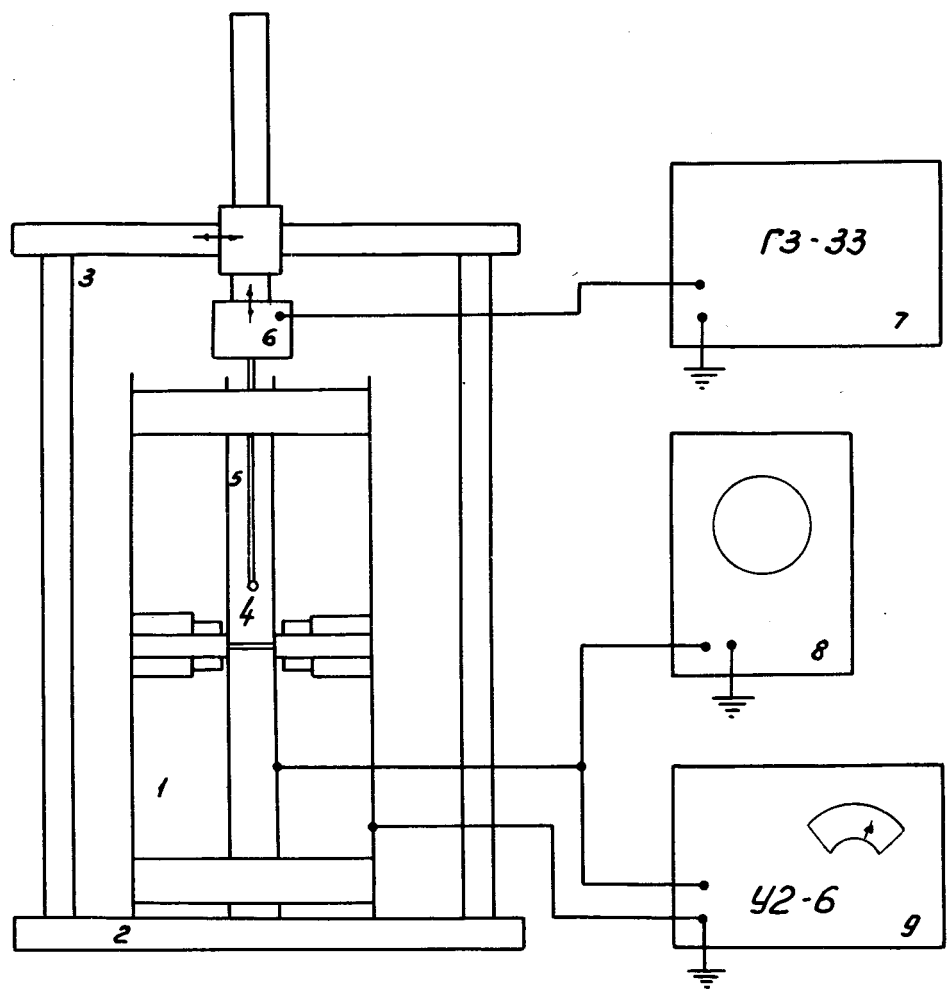


Рис.2. Схема установки МНТ-ВЗ для измерений компонент напряженности электрического поля дуанта. 1 - макет в 1/5 натурь, 2 - пли-та координатора, 3 - координатор, 4 - янтарный шарик \varnothing 3 мм, 5 - керамический держатель, 6 - вибратор, питаемый от генерато-ра 7, 8 - осциллограф, 9 - усилитель.

денного на электродах модели тока могут быть использованы селективные усилители У2-4, У2-6 и "Призма" (либо анализатор гармоник С5-3) с синхронным детектором СД-1, который необходим для определения знака компоненты напряженности поля.

Компоненты электрического поля измерены в 3-х параллельных плоскостях: медианной ($z=0$), $z = 2$ см (размеры даны для натуры) и $z = 4$ см с шагом по x и y около источника 2,5 см.

Измерения напряженности проводились в относительных единицах. Привязка данных измерений к абсолютному значению напряженности электрического поля может быть проведена несколькими способами: измерения в модели с однородным полем, измерения в модели, распределение поля в которой может быть найдено теоретически, и т.д.

Для нормировки компонент напряженности, измеренных в относительных единицах, к абсолютному значению напряженности при $U_d = 20$ кв (ускоряющее поле) и $U_{cm} = -1,5$ кв, $U_\phi = -15$ кв использовалось то соображение, что если проинтегрировать, например, кривую $E_y(y)$ по y от $-\infty$ до ∞ , то интеграл должен быть равен потенциалу, приложенному к дуанту U_d :

$$E_y = - \frac{dU}{dy}, U_d = - \int_{U_d}^0 dU = \int_{-\infty}^{\infty} E_y dy. \quad (1)$$

Интегрирование не обязательно должно проводиться от $-\infty$ до ∞ , если известны значения потенциала в каких-либо точках y_1 и y_2 (например, из измерений на электролитической ванне).

Пусть $\phi = \frac{U}{U_d}$ – относительный потенциал, E_y – напряженность в произвольных единицах, вычерченная на графике в зависимости от y , а ϕ_1 и ϕ_2 – значения относительного потенциала в точках y_1 и y_2 . Тогда справедливо соотношение:

$$E_{y_{max}} \left[\frac{V}{cm} \right] = \frac{(\phi_1 - \phi_2) \cdot U_d [V] M_y \cdot E_{y_{max}} [cm]}{S [cm^2]}, \quad (2)$$

где $M_y = \frac{y_{\text{черт.}}}{y_{\text{нат.}}}$ – масштаб по оси y , $S [cm^2]$ – площадь, ограни-

ченная кривой $E_y(y)$ от y_1 до y_2 , $E_{y\max}[\text{см}]$ - максимальное значение измеренной напряженности на графике в см, U_d [в] - потенциал, приложенный к дуанту или фокусирующим электродам.

В работе И.Б. Енчевича и др. ^{17/} теоретически рассчитано электрическое поле для тех же значений апертуры дуанта и расстояния между крышками камеры без ионного источника и фокусирующих электродов. Для сравнения с расчетной кривой $E_y(y)$ в медианной плоскости измерена зависимость $E_y(y)$ после удаления из макета фокусирующих электродов и ионного источника при значениях x , где влияние выреза в дуанте пренебрежимо мало. На рис. 3 приведены обе кривые в единицах максимального значения измеренного поля. Отличие их в пределах 7+15% объясняется, по-видимому, тем, что расчет выполнен для ускорительной камеры размером $0,6 \times 7 \times 7 \text{ м}^3$, а измерения проведены на макете, моделирующем не всю ускорительную камеру, а только ее центральную часть размером $0,6 \times 1,5 \times 2 \text{ м}^3$, а также сравнительно большой для такого масштаба моделирования величиной зонда ($\varnothing 3 \text{ мм}$), колеблющегося с амплитудой $\approx 1 \text{ мм}$.

Кривые на рис. 3 могут быть также использованы для нахождения абсолютного значения компонент напряженности.

Значения компонент напряженности высокочастотного поля дуанта в кВ/см для напряжения на дуанте $U_d = 20 \text{ кв}$ при наличии плазменного столба ионного источника приведены в таблице 1. На рис. 4 показаны графики $E_y(y)$ при $z = 0$.

В таблице 2 приведены для этого случая компоненты E_x^ϕ , E_y^ϕ , E_z^ϕ электростатического поля, образованного постоянным отрицательным смещением на дуанте $U_{cm} = -1,5 \text{ кв}$ и отрицательным напряжением на фокусирующих электродах $U_\phi = -15 \text{ кв}$. Графики $E_y^\phi(y)$ при $z = 0$ показаны на рис. 5.

Работа выполнена на кафедре радиофизики Саратовского государственного университета в феврале 1967 года.

В заключение авторы благодарят заведующего кафедрой проф. Г.М.Герштейна, начальника отдела синхроциклотрона ЛЯП ОИЯИ В.И. Данилова, предоставивших возможность выполнить настоящую работу, руководителя физико-вакуумной группы отдела синхроциклотрона Е.И. Розанова и руко-

водителя радиотехнической группы И.Б. Енчевича за критические замечания.

Л и т е р а т у р а

1. В.И. Данилов, И.Б. Енчевич, Б.Н. Марченко, Э.А. Полферов, А.Н. Сафонов, А.В. Шестов. Препринт ОИЯИ Р-1853, Дубна 1964.
2. А.Н. Сафонов, А.В. Шестов. Депонированное сообщение ОИЯИ Б1-1543, Дубна 1963.
3. В.И. Данилов, И.Б. Енчевич, Д.Л. Новиков, Э.А. Полферов, А.Н. Сафонов, Б.В. Феоктистов. Препринт ОИЯИ Р-1448, Дубна 1963.
4. И.М. Тетельбаум. Электрическое моделирование. ГИФМЛ, 1959.
5. Вопросы электрического моделирования полей. Сб. статей под ред. Г.М. Герштейна, вып. 1, 1964 г., вып. 2, 1967г., изд-во Саратовского Гос. университета .
6. Г.М. Герштейн, В.П. Пронин, В.А. Седин, Г.К. Федонин. В кн. "Вопросы теории и применения математического моделирования". Из-во Сов. Радио, М., 1965, стр. 399-351.
7. И.Б. Енчевич, Г.Й. Пенчев, А.Н. Сафонов. Препринт ОИЯИ 1854, Дубна 1964; Известия на физич. институт с АНЕБ, том. XIII , кн. 1., 1965, стр. 111-130.

Рукопись поступила в издательский отдел

17 декабря 1969 года.

$$\mathcal{E}_y = \frac{E_y}{E_{y\max}}$$

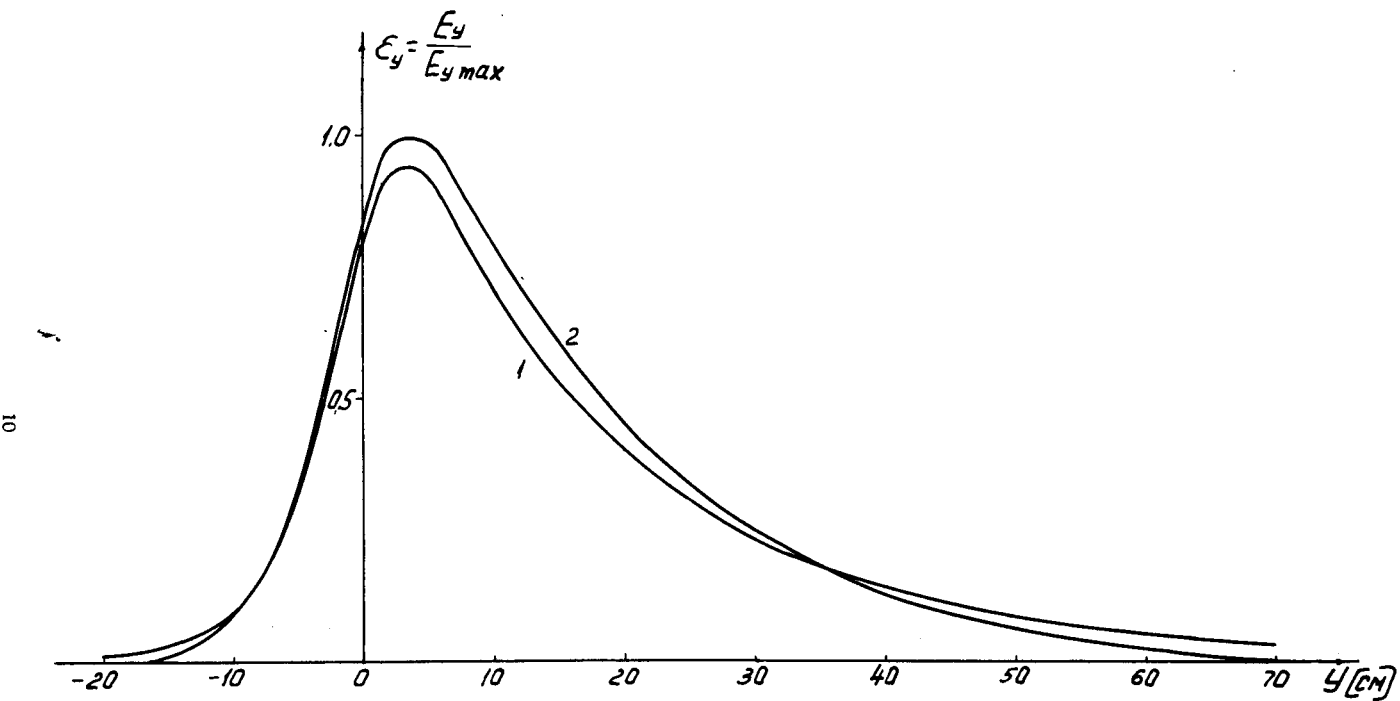
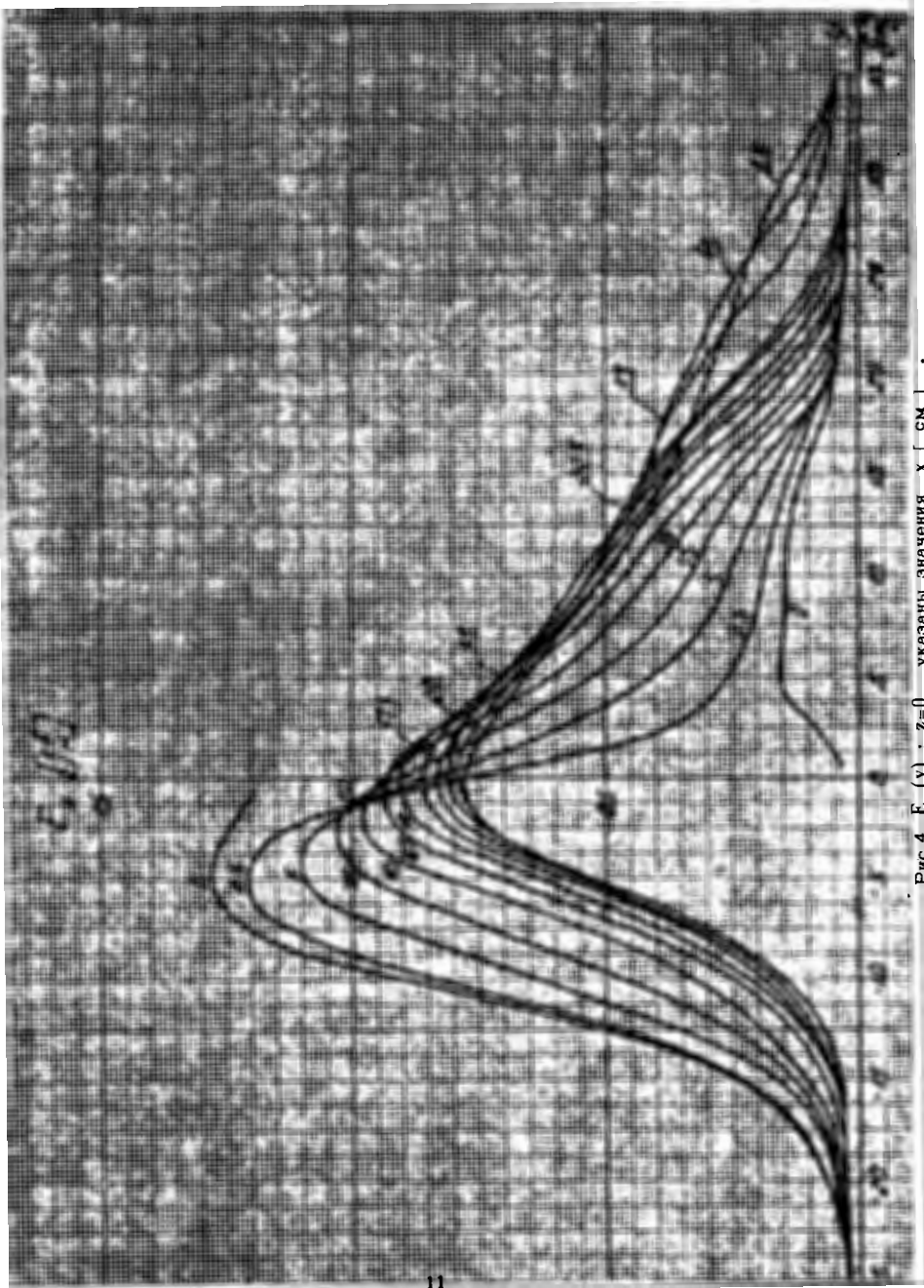


Рис.3. Зависимость E_y от y : 1 - расчетная кривая; 2 - кривая, измеренная на макете без ионного источника и фокусирующих электродов при x , где влияние выреза пренебрежимо мало. $E_{y\max}$ - максимальное значение измеренного поля.

$y [cm]$
 $y [cm]$

Рис.4. $E_y(y)$; $z=0$ — указаны значения x [см].



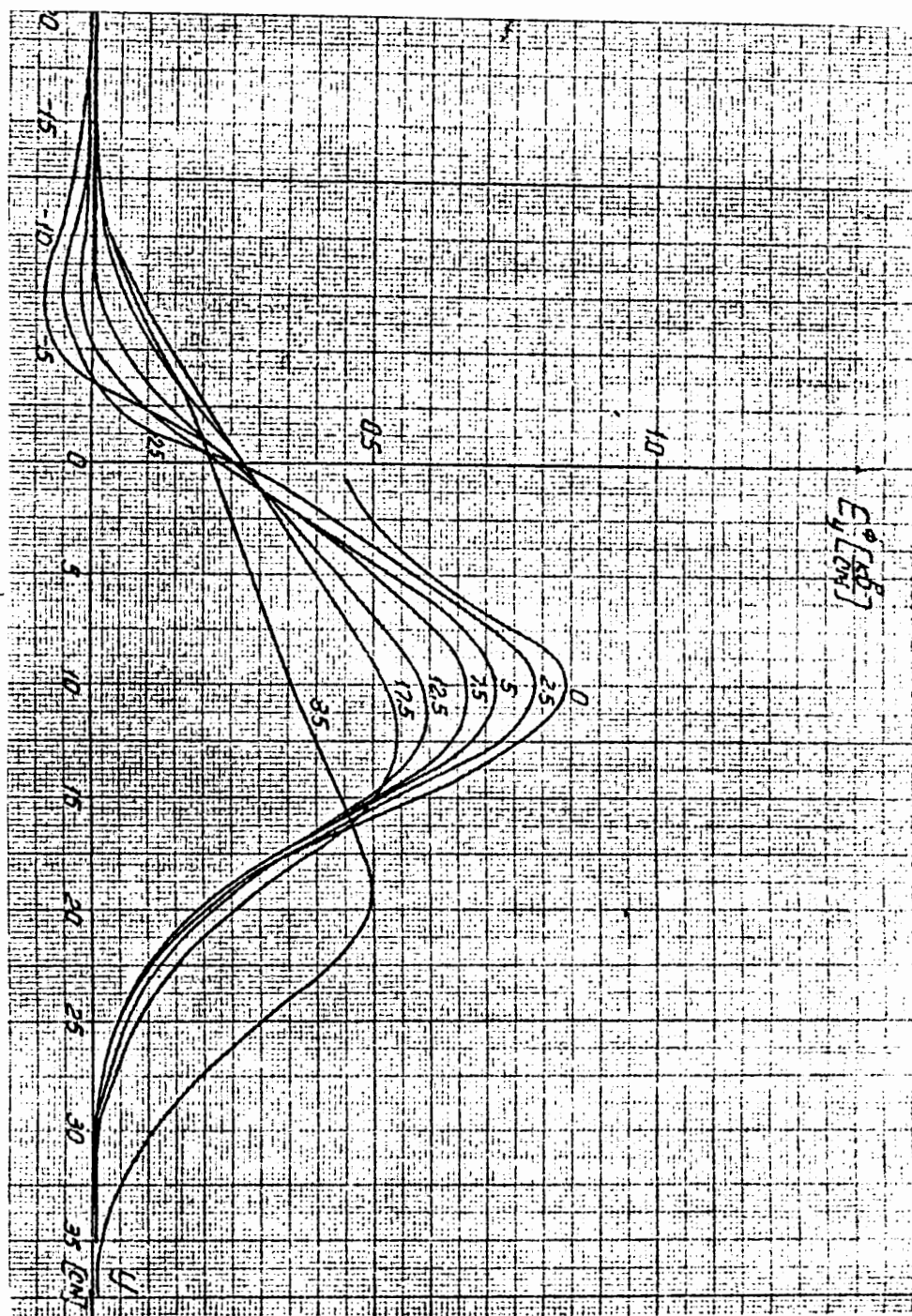


Рис.5. $E_y^\phi(y)$; $z = 0$ указаны значения x [см].

Таблица I

Компоненты высокочастотного поля дуанта при наличии плазмы
дугового разряда ионного источника, $U_d = 20$ кв

$$1) \quad E_x(x,y) [\frac{KB}{cm}] ; z=0$$

$y (cm)$	2,5	5	7,5	12,5	17,5	35
-15	-0,051	-0,113	-0,135	-0,031	-0,088	-0,039
-12,5	-0,141	-0,211	-0,218	-0,102	-0,055	-0,058
-10	-0,214	-0,301	-0,396	-0,167	-0,088	-0,079
-7,5	-0,295	-0,423	-0,461	-0,218	-0,097	-0,066
-5	-0,397	-0,593	-0,525	-0,307	-0,141	-0,086
-2,5	-0,442	-0,648	-0,607	-0,320	-0,141	-0,089
0	-0,353	-0,396	-0,397	-0,266	-0,141	-0,087
2,5	-0,167	-0,243	-0,275	-0,130	-0,141	-0,026
5	-0,071	-0,170	-0,192	-0,179	-0,141	-0,039
7,5	-0,026	-0,077	-0,135	-0,161	-0,115	-0,019
10	-0,026	-0,051	-0,064	-0,064	-0,077	-0,026
12	-0,026	-0,038	-0,095	-0,051	-0,071	-0,038
15	-0,013	-0,013	-0,019	-0,019	-0,023	-0,019

$$2) \quad E_x(x,y) [\frac{KB}{cm}] \quad z = 2 \text{ см}$$

$y (cm)$	2,5	5	7,5	12,5	17,5	35
-15	-0,064	-0,126	-0,126	-0,126	-0,039	-0,039
-12,5	-0,141	-0,243	-0,243	-0,132	-0,086	-0,086
-10	-0,205	-0,396	-0,396	-0,197	-0,086	-0,086
-7,5	-0,286	-0,448	-0,450	-0,224	-0,094	-0,086
-5	-0,350	-0,520	-0,590	-0,307	-0,109	-0,083
-2,5	-0,397	-0,435	-0,525	-0,338	-0,156	-0,083
0	-0,307	-0,306	-0,426	-0,320	-0,167	-0,039
2,5	-0,181	-0,218	-0,295	-0,283	-0,141	-0,022
5	-0,064	-0,141	-0,192	-0,179	-0,135	-0,026
7,5	-0,038	-0,064	-0,102	-0,137	-0,102	-0,026
10	-0,026	-0,038	-0,051	-0,080	-0,096	-0,026
12,5	-0,026	-0,026	-0,026	-0,038	-0,064	-0,026
15	-0,019	-0,019	-0,026	-0,019	-0,032	-0,026

$$3) \quad E_x(x,y) [\frac{KB}{cm}] ; z=4 \text{ см}$$

$y (cm)$	2,5	5	7,5	12,5	17,5	35
-15	-0,077	-0,154	-0,128	-0,029	-0,013	-0,033
-12,5	-0,141	-0,295	-0,269	-0,065	-0,013	-0,033
-10	-0,230	-0,500	-0,478	-0,128	-0,086	-0,033
-7,5	-0,295	-0,653	-0,717	-0,218	-0,088	-0,033
-5	-0,369	-0,602	-0,665	-0,307	-0,102	-0,033
-2,5	-0,250	-0,371	-0,682	-0,390	-0,141	-0,033
0	-0,192	-0,269	-0,319	-0,360	-0,134	-0,033
2,5	-0,077	-0,205	-0,333	-0,296	-0,134	-0,033
5	-0,054	-0,141	-0,192	-0,179	-0,141	-0,033
7,5	-0,023	-0,064	-0,115	-0,122	-0,122	-0,026
10	-0,019	-0,026	-0,038	-0,064	-0,077	-0,026
12,5	-0,013	-0,013	-0,019	-0,019	-0,026	-0,026
15	-0,003	-0,013	-0,013	-0,013	-0,013	-0,026

$$4) \quad E_y(x,y) [\frac{KB}{cm}] \quad z = 0$$

$y (cm)$	0	2,5	5	7,5	12,5	17,5	35
-20	0,085	0,086	0,087	0,051	0,038	0,030	0,038
-17,5	0,128	0,115	0,077	0,089	0,089	0,038	0,038
-15	0,249	0,220	0,167	0,128	0,089	0,051	0,038
-12,5	0,512	0,446	0,392	0,256	0,141	0,102	0,038
-10	0,894	0,813	0,627	0,474	0,250	0,132	0,109
-7,5	1,200	1,118	0,910	0,730	0,462	0,304	0,220
-5	1,280	1,215	1,100	0,960	0,705	0,590	0,345
-2,5	1,280	1,120	1,070	1,037	0,910	0,808	0,730
0	0,782	0,695	0,910	0,920	0,860	0,795	0,782
2,5	0,690	0,571	0,590	0,705	0,820	0,814	0,730
5	0,532	0,256	0,410	0,527	0,666	0,705	0,656
7,5	0,446	0,205	0,307	0,387	0,550	0,648	0,577
10	0,340	0,192	0,256	0,333	0,461	0,526	0,523
12,5	0,139	0,166	0,218	0,262	0,385	0,449	0,435
15	0,115	0,140	0,167	0,211	0,295	0,372	0,423
17,5	0,075	0,080	0,115	0,128	0,192	0,269	0,327
20	0,050	0,051	0,051	0,054	0,080	0,157	0,320
22,5	0,040	0,038	0,038	0,038	0,038	0,077	0,236
25	0,031					0,167	0,224
27,5	0,028						0,192
30	0,023						0,141
35	0,013						0,088

Для отрицательных значений x компонента E_x положительна, для $x=0$ $E_x=0$.

Таблица I (продолжение)

5) $E_y(x, y) [\frac{KB}{CM}]$; $z = 2 \text{ см}$

$y [cm]$	0	2,5	5	7,5	12,5	17,5	25	35
-20	0,036	0,036	0,036	0,036	0,036	0,036	0,036	0,036
-17,5	0,072	0,072	0,072	0,072	0,072	0,072	0,072	0,072
-15	0,102	0,102	0,102	0,072	0,072	0,072	0,072	0,072
-12,5	0,142	0,142	0,142	0,142	0,142	0,142	0,142	0,142
-10	0,182	0,182	0,182	0,178	0,178	0,178	0,178	0,178
-8	0,220	0,220	0,220	0,210	0,210	0,210	0,210	0,210
-7,5	0,250	0,250	0,250	0,250	0,250	0,250	0,250	0,250
-5	0,286	0,286	0,286	0,286	0,286	0,286	0,286	0,286
-2,5	0,306	0,306	0,306	0,306	0,306	0,306	0,306	0,306
0	0,306	0,306	0,306	0,306	0,306	0,306	0,306	0,306
2,5	0,306	0,306	0,306	0,306	0,306	0,306	0,306	0,306
5	0,303	0,307	0,286	0,303	0,303	0,303	0,303	0,303
7,5	0,307	0,308	0,292	0,303	0,303	0,303	0,303	0,303
10	0,307	0,307	0,307	0,299	0,302	0,303	0,303	0,303
12,5	0,307	0,307	0,307	0,307	0,307	0,307	0,307	0,307
15	0,303	0,303	0,303	0,303	0,303	0,303	0,303	0,303
17,5	0,306	0,306	0,303	0,303	0,303	0,303	0,303	0,303
20	0,306	0,306	0,306	0,306	0,303	0,303	0,303	0,303
25					0,086	0,086	0,107	0,142
30						0,086	0,071	
35							0,086	0,086

6) $E_y(x, y) [\frac{KB}{CM}]$; $z = 4 \text{ см}$

$y [cm]$	0	2,5	5	7,5	12,5	17,5	25	35
-20	0,086							
-17,5	0,107	0,071	0,071	0,071	0,071	0,071	0,071	0,071
-15	0,205	0,176	0,107	0,071	0,071	0,071	0,071	0,071
-10	0,302	0,266	0,196	0,124	0,071	0,071	0,071	0,071
-7,5	1,085	1,600	1,110	0,985	0,725	0,474	0,170	0,170
-5	1,837	1,780	1,638	1,139	0,665	0,499	0,369	0,369
-2,5	0,937	0,886	1,280	1,460	1,246	1,081	0,880	0,880
0	0,463	0,677	0,982	1,110	0,997	0,880	0,880	0,880
2,5	0,071	0,142	0,236	0,335	0,791	0,788	0,767	0,767
5	0,071		0,142	0,236	0,605	0,610	0,605	0,605
7,5	0,071			0,275	0,463	0,335	0,370	0,370
10	0,071	0,071		0,125	0,249	0,410	0,463	0,463
12,5	0,071				0,214	0,392	0,428	0,428
15	0,071			0,071	0,107	0,249	0,382	0,382
17,5						0,071	0,142	0,388
20						0,071	0,236	0,214
25				0,086	0,086	0,086	0,071	0,170
30							0,071	
35							0,086	0,086

7) $E_z(x, y) [\frac{KB}{CM}]$; $z = 2 \text{ см}$

$y [cm]$	0	2,5	5	7,5	12,5	17,5	35
-20	-0,013	-0,013	-0,013	-0,013	-0,013	-0,013	-0,013
-17,5	-0,019	-0,019	-0,019	-0,019	-0,019	-0,019	-0,019
-15	-0,026	-0,026	-0,026	-0,026	-0,026	-0,026	-0,026
-12,5	-0,071	-0,084	-0,081	-0,085	-0,073	-0,053	-0,013
-10	-0,164	-0,177	-0,123	-0,104	-0,095	-0,026	-0,029
-7,5	0,089	0,089	-0,081	-0,128	-0,102	-0,053	-0,082
-5	0,218	0,170	0,051	-0,051	-0,122	-0,077	-0,084
-2,5	0,179	0,179	0,134	0,094	-0,032	-0,013	-0,013
0	0,181	0,181	0,108	0,026	0,019	0,000	0,000
2,5	0,077	0,115	0,115	0,077	0,086	0,026	0,029
5	0,051	0,084	0,084	0,051	0,088	0,026	0,029
7,5	0,045	0,080	0,085	0,088	0,088	0,026	0,029
10	0,080	0,086	0,082	0,082	0,086	0,026	0,029
12,5	0,086	0,085	0,087	0,082	0,088	0,026	0,029
15	0,025	0,019	0,025	0,025	0,025	0,025	0,025
20	0,019	0,019	0,021	0,019	0,025	0,019	0,025
25	0,013	0,013	0,013	0,013	0,013	0,013	0,013
30	0,013	0,013	0,013	0,013	0,013	0,013	0,013

8) $E_z(x, y) [\frac{KB}{CM}]$; $z = 4 \text{ см}$

$y [cm]$	0	2,5	5	7,5	12,5	17,5	35
-20	-0,013	-0,013	-0,013	-0,013	-0,013	-0,013	-0,013
-17,5	-0,026	-0,026	-0,026	-0,019	-0,019	-0,019	-0,019
-15	-0,084	-0,084	-0,051	-0,080	-0,080	-0,013	-0,013
-12,5	-0,205	-0,198	-0,141	-0,102	-0,088	-0,019	-0,019
-10	-0,300	-0,320	-0,295	-0,202	-0,115	-0,037	-0,026
-7,5	0,152	0,100	-0,256	-0,378	-0,205	-0,126	-0,102
-5	0,615	0,588	0,205	-0,320	-0,395	-0,216	-0,167
-2,5	0,378	0,423	0,405	0,059	-0,054	0,000	0,000
0	0,256	0,320	0,192	0,095	0,038	0,026	0,026
2,5	0,194	0,179	0,205	0,141	0,064	0,045	0,032
5	0,128	0,128	0,102	0,102	0,058	0,032	0,049
7,5	0,091	0,081	0,051	0,064	0,045	0,032	0,032
10	0,038	0,038	0,026	0,045	0,022	0,026	0,026
12,5	0,082	0,088	0,088	0,088	0,064	0,045	0,032
15	0,092	0,088	0,088	0,077	0,115	0,115	0,019
20	0,019	0,026	0,026	0,025	0,022	0,045	0,051
25	0,013	0,013	0,013	0,013	0,013	0,013	0,013
30	0,013	0,013	0,013	0,013	0,013	0,013	0,013

Для отрицательных значений x компоненты E_y и E_z имеют такие же значения, что и для положительных x .

Для отрицательных значений z компоненты E_x и E_y имеют такие же значения, что и для положительных z , компонента E_z меняет знак на противоположный; при $z=0$ $E_z=0$.

Таблица II

Компоненты электростатического поля фокусирующих электродов и дуанта при наличии плазмы дугового разряда источника $U_{CM} = -1,5$ кв, $U_{\phi} = -15$ кв

$$1) \quad E_x^{\phi}(x,y) [\frac{KB}{cm}]; z=0$$

$y [cm]$	2,5	5	7,5	12,5	17,5	35
-12,5	0,039	0,025	0,062	0,032	0,023	-0,023
-10	0,086	0,101	0,105	0,082	0,023	-0,081
-7,5	0,148	0,167	0,164	0,094	0,031	-0,085
-5	0,242	0,234	0,236	0,133	0,039	-0,083
-2,5	0,320	0,269	0,261	0,160	0,039	-0,070
0	0,335	0,305	0,297	0,164	0,039	-0,076
2,5	0,187	0,256	0,262	0,136	0,006	-0,117
5	0,133	0,203	0,203	0,086	-0,009	-0,148
7,5	0,090	0,140	0,140	0,016	-0,101	-0,195
10	0,046	0,082	0,076	-0,016	-0,146	-0,242
12,5	0,020	0,031	0,027	-0,077	-0,164	-0,273
15	0,012	0,012	0,012	-0,086	-0,146	-0,292
17,5	0,016	0,012	0,012	-0,047	-0,101	-0,289
20	0,008	0,012	0,012	-0,026	-0,062	-0,242
22,5	0,008	0,008	0,012	-0,016	-0,035	-0,180
25	0,008	0,008	0,008	-0,016	-0,023	-0,121
27,5	0,008	0,008	0,008	-0,008	-0,082	
30				-0,010	-0,029	

$$2) \quad E_x^{\phi}(x,y) [\frac{KB}{cm}]; z=2 \text{ см}$$

$y [cm]$	2,5	5	7,5	12,5	17,5	35
-12,5	0,093	0,062	0,062	0,000	0,000	-0,000
-10	0,078	0,109	0,117	0,062	0,062	-0,000
-7,5	0,140	0,172	0,187	0,096	0,097	-0,003
-5	0,222	0,238	0,265	0,148	0,097	-0,005
-2,5	0,269	0,293	0,321	0,180	0,075	-0,076
0	0,305	0,312	0,335	0,180	0,059	-0,086
2,5	0,180	0,269	0,305	0,148	0,012	-0,125
5	0,133	0,234	0,234	0,101	-0,067	-0,136
7,5	0,086	0,148	0,151	0,027	-0,101	-0,199
10	0,047	0,086	0,086	-0,020	-0,148	-0,226
12,5	0,031	0,031	0,031	-0,031	-0,156	-0,296
15	0,016	0,020	0,016	-0,089	-0,133	-0,269
17,5	0,014	0,012	0,016	-0,023	-0,086	-0,273
20	0,012	0,012	0,016	-0,023	-0,097	-0,226
22,5	0,012	0,012	0,012	-0,016	-0,023	-0,148
25			0,012	-0,016	-0,020	-0,101
27,5					-0,016	-0,082
30						-0,089

$$3) \quad E_x^{\phi}(x,y) [\frac{KB}{cm}]; z=4 \text{ см}$$

$y [cm]$	2,5	5	7,5	12,5	17,5	35
-12,5	0,062	0,078	0,078	0,062	0,057	-0,067
-10	0,070	0,125	0,140	0,099	0,047	-0,067
-7,5	0,109	0,211	0,270	0,094	0,039	-0,047
5	0,133	0,265	0,383	0,146	0,087	-0,059
-2,5	0,180	0,305	0,491	0,203	0,062	-0,078
0	0,218	0,367	0,507	0,211	0,046	-0,101
2,5	0,208	0,421	0,476	0,180	-0,027	-0,139
5	0,203	0,363	0,336	0,109	-0,086	-0,172
7,5	0,148	0,234	0,211	0,031	-0,164	-0,215
10	0,078	0,117	0,105	-0,039	-0,218	-0,256
12,5	0,031	0,047	0,047	-0,095	-0,234	-0,305
15	0,020	0,020	0,020	-0,027	-0,146	-0,340
17,5	0,016	0,016	0,016	-0,020	-0,082	-0,336
20	0,016	0,016	0,016	-0,016	-0,026	-0,273
22,5	0,016	0,016	0,016	-0,016	-0,023	-0,133
25				-0,008	-0,022	-0,078
27,5				-0,016	-0,020	-0,087
30				-0,016	-0,020	

$$4) \quad E_y^{\phi}(x,y) [\frac{KB}{cm}]; z=0$$

$y [cm]$	0	2,5	5	7,5	12,5	17,5	35
-15	-0,012	-0,008	-0,008	0,008	0,008	0,008	0,008
-12,5	-0,031	-0,016			0,008	0,012	0,012
-10	-0,062	-0,039	-0,016	0,008	0,020	0,031	0,031
-7,5	-0,082	-0,055	-0,020	0,012	0,062	0,086	0,076
-5	-0,070	-0,023	-0,008	0,062	0,118	0,140	0,125
-2,5	0,086	0,081	0,101	0,143	0,187	0,211	0,180
0	0,226	0,234	0,250	0,273	0,273	0,221	
2,5	0,495	0,430	0,382	0,378	0,351	0,335	0,290
5	0,600	0,577	0,538	0,503	0,445	0,397	0,268
7,5	0,753	0,710	0,655	0,600	0,519	0,460	0,316
10	0,848	0,783	0,718	0,666	0,565	0,518	0,351
12,5	0,761	0,725	0,679	0,648	0,585	0,538	0,397
15	0,593	0,554	0,530	0,507	0,491	0,507	0,445
17,5	0,367	0,351	0,339	0,325	0,351	0,382	0,467
20	0,211	0,203	0,195	0,195	0,211	0,227	0,491
22,5	0,113	0,109	0,105	0,105	0,117	0,146	0,425
25	0,062	0,067	0,065	0,055	0,068	0,066	0,308
27,5	0,031	0,020	0,020	0,020	0,027	0,039	0,190
30	0,008	0,008	0,008	0,008	0,008	0,008	0,016
35	0,008	0,008	0,008	0,008	0,008	0,008	0,016

Для отрицательных значений x компонента E_x^{ϕ} меняет знак на противоположный, при $x=0$ $E_x^{\phi}=0$.

Таблица II (продолжение)

$$5) E_y^\phi(x,y)[\frac{KB}{CM}]; z=2 \text{ см}$$

$y[x]$	0	2,5	5	7,5	12,5	17,5	25
-15	-0,008	-0,008	-0,008	-0,008	-0,008	-0,008	-0,008
-12,5	-0,023	-0,035	-0,038		0,008	0,035	0,054
-10	-0,070	-0,097	-0,056	0,008	0,016	0,008	0,008
-7,5	-0,120	-0,078	0,000	0,008	0,058	0,120	0,170
-5	-0,078	-0,045	0,000	0,008	0,113	0,170	0,130
-2,5	0,070	0,016	0,008	0,125	0,195	0,211	0,195
0	0,135	0,218	0,292	0,285	0,292	0,292	0,292
2,5	0,430	0,387	0,387	0,375	0,387	0,378	0,378
5	0,600	0,590	0,546	0,515	0,465	0,402	0,312
7,5	0,781	0,761	0,679	0,625	0,539	0,468	0,385
10	0,898	0,889	0,761	0,710	0,675	0,589	0,485
12,5	0,881	0,810	0,734	0,702	0,646	0,585	0,437
15	0,581	0,583	0,507	0,500	0,500	0,500	0,492
17,5	0,269	0,297	0,289	0,281	0,297	0,307	0,305
20	0,136	0,169	0,146	0,146	0,164	0,211	0,248
22,5	0,085	0,086	0,086	0,086	0,094	0,117	0,180
25	0,031	0,011	0,001	0,001	0,008	0,053	0,129
27,5	0,012	0,005	0,005	0,005	0,020	0,008	0,045
30	0,008	0,008	0,008	0,002	0,014	0,008	0,001
32,5		0,008	0,008	0,008	0,008	0,008	0,000
35					0,008		

$$6) E_y^\phi(x,y)[\frac{KB}{CM}]; z=4 \text{ см}$$

$y[x]$	0	2,5	5	7,5	12,5	17,5	25
-15	-0,008	-0,008	-0,008	-0,008	-0,008	-0,008	-0,008
-12,5	-0,016	-0,032	-0,032		0,008	0,012	0,012
-10	-0,084	-0,082	-0,082		0,008	0,012	0,012
-7,5	-0,160	-0,117	-0,070	0,008	0,027	0,088	0,088
-5	-0,105	-0,094	-0,070	0,008	0,084	0,117	0,109
-2,5	0,088	0,088	0,088	0,088	0,195	0,225	0,199
0	0,141	0,164	0,215	0,265	0,281	0,226	
2,5	0,312	0,316	0,336	0,375	0,351	0,352	0,290
5	0,370	0,378	0,385	0,395	0,445	0,380	0,278
7,5	1,085	0,960	0,791	0,667	0,546	0,468	0,305
10	1,150	1,060	0,940	0,870	0,680	0,562	0,361
12,5	1,160	1,080	1,050	1,010	0,900	0,880	0,602
15	0,460	0,437	0,414	0,420	0,508	0,687	0,468
17,5	0,180	0,172	0,156	0,164	0,180	0,202	0,195
20	0,086	0,086	0,086	0,076	0,086	0,117	0,080
22,5	0,089	0,081	0,081	0,089	0,089	0,082	0,023
25	0,016	0,016	0,016	0,016	0,016	0,020	0,047
27,5	0,008	0,008	0,008	0,008	0,008	0,002	0,076
30	0,008	0,008	0,008	0,008	0,008	0,008	0,000
32,5		0,008	0,008	0,008	0,008	0,008	
35					0,008		

$$7) E_z^\phi(x,y)[\frac{KB}{CM}]; z=2 \text{ см}$$

$y[x]$	0	2,5	5	7,5	12,5	17,5	25
-15	-0,008	-0,008	-0,008	-0,008	-0,008	-0,008	-0,008
-10	-0,008	-0,008	-0,008	-0,010	-0,010	-0,010	-0,010
-7,5	-0,089	-0,081	-0,081	-0,082	-0,082	-0,082	-0,082
-5	-0,082	-0,085	-0,078	-0,083	-0,083	-0,083	-0,083
-2,5	-0,082	-0,117	-0,113	-0,086	-0,087	-0,080	-0,080
0	-0,164	-0,152	-0,109	-0,097	-0,097	-0,085	
2,5	-0,226	-0,226	-0,180	-0,113	-0,097	-0,077	-0,046
5	-0,254	-0,223	-0,192	-0,134	-0,099	-0,073	-0,035
7,5	-0,144	-0,109	-0,079	-0,077	-0,082	-0,076	
10	0,095	0,070	0,078	0,086	0,059	0,032	-0,016
12,5	0,270	0,273	0,275	0,215	0,117	0,074	
15	0,273	0,277	0,281	0,265	0,273	0,226	0,000
17,5	0,164	0,168	0,172	0,164	0,195	0,226	0,042
20	0,036	0,036	0,030	0,036	0,109	0,141	0,131
22,5	0,003	0,009	0,005	0,009	0,021	0,076	0,020
25	0,002	0,016	0,012	0,009	0,016	0,021	0,020
27,5	0,008	0,008	0,008	0,008	0,008	0,027	0,000
30					0,008	0,002	
32,5						0,023	
35							

$$8) E_z^\phi(x,y)[\frac{KB}{CM}]; z=4 \text{ см}$$

$y[x]$	0	2,5	5	7,5	12,5	17,5	25
-15	-0,008	-0,008	-0,008	-0,008	-0,008	-0,008	-0,008
-12,5	-0,023	-0,023	-0,023		0,008	0,012	0,012
-10	-0,008	-0,008	-0,012	-0,008	-0,027	-0,081	-0,081
-7,5	-0,101	-0,085	-0,085	-0,082	-0,031	-0,012	-0,038
-5	-0,187	-0,187	-0,156	-0,156	-0,098	-0,104	-0,125
-2,5	-0,164	-0,211	-0,242	-0,164	-0,094	-0,086	-0,070
0	-0,305	-0,320	-0,320	-0,207	-0,079	-0,070	-0,077
2,5	-0,492	-0,499	-0,383	-0,211	-0,103	-0,086	-0,077
5	-0,610	-0,539	-0,312	-0,187	-0,105	-0,086	-0,070
7,5	-0,328	-0,289	-0,175	-0,125	-0,079	-0,086	-0,078
10	0,000	0,000	0,000	0,000	0,000	0,007	-0,005
12,5	0,585	0,570	0,616	0,600	0,460	0,421	-0,005
15	0,523	0,507	0,531	0,539	0,578	0,484	-0,028
17,5	0,269	0,234	0,269	0,200	0,351	0,433	0,000
20	0,146	0,146	0,146	0,146	0,187	0,242	0,328
22,5	0,078	0,078	0,078	0,078	0,085	0,096	0,177
25	0,001	0,001	0,001	0,001	0,003	0,043	0,027
27,5	0,014	0,016	0,014	0,012	0,016	0,027	0,200
30	0,008	0,008	0,008	0,008	0,008	0,008	0,002
32,5		0,008	0,008	0,008	0,008	0,008	0,002
35					0,008	0,008	0,000

Для отрицательных значений x компоненты E_y^ϕ и E_z^ϕ имеют такие же значения, что и для положительных x .

Для отрицательных значений z компоненты E_x^ϕ и E_y^ϕ имеют такие же значения, что и для положительных z , компонента E_z^ϕ меняет знак на противоположный; при $z=0$ $E_z^\phi=0$.